

УДК 539.3; 544.2

## ТЕОРЕТИЧЕСКОЕ И ЭКСПЕРИМЕНТАЛЬНОЕ ИССЛЕДОВАНИЕ НЕЛИНЕЙНЫХ КОЛЕБАНИЙ ПОГРУЖЕННОЙ В ЖИДКОСТЬ КОНСОЛИ АТОМНО-СИЛОВОГО МИКРОСКОПА, ИМЕЮЩЕЙ КИНЖАЛЬНУЮ ФОРМУ

А. Х. Холизаде Паша, А. Садехи

Исламский университет Азад, Дамаванд, Иран  
E-mails: alihosseing@gmail.com, a\_sadeghi@damavandiau.ac.ir

Исследуется нелинейное динамическое поведение погруженной в жидкость консоли атомно-силового микроскопа, имеющей кинжальную форму. Поведение консоли моделируется с использованием теории балок Тимошенко, учитывающей инерцию поворота поперечного сечения и поперечный сдвиг. При моделировании взаимодействия зонда консоли и поверхности образца используется теория Герца. В качестве жидкости, в которую погружается зонд, рассматривались вода, метанол, ацетон и углеродистый тетрагидрофуран. Во всех случаях обнаружено разупрочнение материала консоли. С увеличением вязкости жидкости резонансная частота уменьшается. Показано, что результаты расчетов хорошо согласуются с экспериментальными данными.

**Ключевые слова:** атомно-силовой микроскоп, консоль кинжальной формы, демпфирование, балка Тимошенко, погружение в жидкость.

DOI: 10.15372/PMTF20200419

**Введение.** В работе [1] предложено использовать атомно-силовой микроскоп (АСМ) для исследования свойств различных материалов. В АСМ зонд прикреплен на конце консоли. Радиус зоны контакта может составлять порядка 10 нм, а контактное усилие — несколько наноньютонов. При этом повреждение материала в зоне контакта является незначительным.

В последнее время возрастает интерес к исследованию поведения консоли АСМ. Однако имеются нерешенные проблемы, о чем свидетельствует различие результатов теоретических и экспериментальных исследований контактной жесткости. В работе [2] в предположении, что консоль АСМ параллельна поверхности образца, изучены моды ее колебаний в воздухе и предложено замкнутое выражение для собственных частот. В [3] моды колебаний консоли исследовались в предположении, что между ней и поверхностью образца имеется некоторый угол, при этом размер зонда не учитывался. В работе [4] с использованием соотношений для балки Тимошенко изучались линейные колебания составной консоли конусообразной формы, а также влияние различных параметров на резонансные частоты. Влиянием нелинейных слагаемых на резонансные частоты в выражении для контактной жесткости пренебрегалось. В работе [5] с использованием нелинейного уравнения

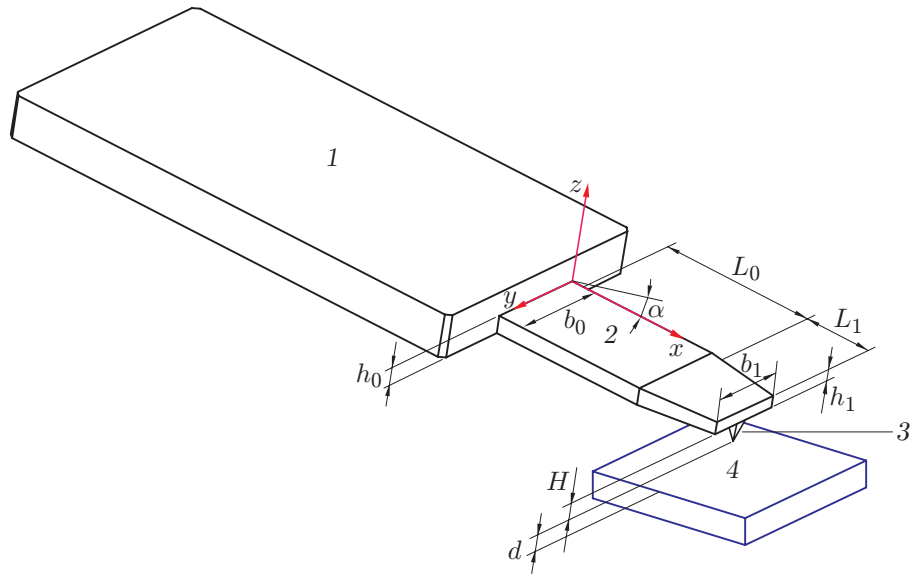


Рис. 1. Схема консоли АСМ, имеющей кинжальную форму:  
 1 — основание, 2 — консоль, 3 — зонд, 4 — образец

пятого порядка и точного выражения для кривизны балки изучались поперечные колебания балки, лежащей на упругом основании. В [6] исследовались колебания упругой балки с нелинейно закрепленными торцами, с использованием разложений Фурье и Бесселя получено решение динамической задачи, а с использованием преобразования Ханкеля — частные решения неоднородного уравнения.

**1. Теоретическая модель.** Схема консоли АСМ, имеющей кинжальную форму, приведена на рис. 1. На конце консоли расположен конический зонд. Зонд имеет массу  $m$ , угол между консолью и поверхностью образца равен  $\alpha$ . Толщина и ширина балки меняются по линейному закону от  $h_0$  до  $h_1$  и от  $b_0$  до  $b_1$  соответственно. Соотношения для балки Тимошенко в форме параллелепипеда записываются в следующем виде [7]:

$$\begin{aligned} \frac{\partial}{\partial x} \left[ kGA_0 \left( \frac{\partial v(x,t)}{\partial x} - \psi(x,t) \right) \right] - \rho A_0 \frac{\partial^2 v(x,t)}{\partial t^2} - c \frac{\partial v(x,t)}{\partial t} + f_{d1}(x,t) &= 0; \\ \frac{\partial}{\partial x} \left[ EI_{y0} \left( \frac{\partial \psi(x,t)}{\partial x} \right) \right] + kGA_0 \left( \frac{\partial v(x,t)}{\partial x} - \psi(x,t) \right) - \rho I_{y0} \frac{\partial^2 \psi(x,t)}{\partial t^2} &= 0, \end{aligned} \quad (1)$$

$$-L_0 \leq x \leq 0.$$

Здесь  $v$  — поперечное смещение (прогиб) оси балки;  $\psi$  — угол поворота поперечного сечения балки;  $f_{d1}$  — гидродинамическая сила, действующая на балку в форме параллелепипеда. Соотношения для составной конусообразной балки Тимошенко записываются в виде [7]

$$\begin{aligned} \frac{\partial}{\partial x} \left[ kGA_1 \left( \frac{\partial w(x,t)}{\partial x} - \varphi(x,t) \right) \right] - \rho A_1 \frac{\partial^2 w(x,t)}{\partial t^2} - c \frac{\partial w(x,t)}{\partial t} + f_{d2}(x,t) &= 0, \\ \frac{\partial}{\partial x} \left[ EI_{y1} \left( \frac{\partial \varphi(x,t)}{\partial x} \right) \right] + kGA_1 \left( \frac{\partial w(x,t)}{\partial x} - \varphi(x,t) \right) - \rho I_{y1} \frac{\partial^2 \varphi(x,t)}{\partial t^2} &= 0, \quad 0 \leq x \leq L_1, \end{aligned}$$

где  $w, \varphi$  — прогиб и угол поворота поперечного сечения балки;  $\rho$  — плотность;  $A_0, A_1$  и  $I_0, I_1$  — площади и моменты инерции поперечных сечений балки соответственно;  $E$  — модуль Юнга;  $G$  — модуль сдвига;  $k = 5(1+\nu)/(6+5\nu)$  — коэффициент сдвига;  $\nu$  — коэффициент

Пуассона;  $f_{d_2}$  — гидродинамическая сила, действующая на составную конусообразную балку,

$$A_1 = A_0(1 - C_b \xi_1)(1 - C_h \xi_1), \quad I_{y1} = I'_{y1}(1 - C_b \xi_1)(1 - C_h \xi_1)^3, \\ C_b = 1 - b_2/b_1, \quad C_h = 1 - h_2/h_1, \quad b = b_1(1 - C_b \xi_1)(1 - C_h \xi_1).$$

Как правило, предполагается, что гидродинамические силы пропорциональны скорости и ускорению консоли [8]:

$$f_{d_1}(x, t) = -\rho_a \frac{\partial^2 v(x, t)}{\partial t^2} - c_a \frac{\partial v(x, t)}{\partial t}, \quad f_{d_2}(x, t) = -\rho'_a \frac{\partial^2 v(x, t)}{\partial t^2} - c'_a \frac{\partial v(x, t)}{\partial t}. \quad (2)$$

Здесь  $\rho_a$ ,  $\rho'_a$  и  $c_a$ ,  $c'_a$  — дополнительные плотности и дополнительные гидродинамические демпфирующие коэффициенты, обусловленные наличием жидкости, соответственно. В работе [9] приняты следующие выражения для  $\rho_a$ ,  $\rho'_a$ :

$$\rho_a = \frac{1}{12} \pi \rho_{liq} b_0^2 + \frac{3}{4} \pi b_0 \sqrt{\frac{2\rho_{liq}\eta}{\omega}}, \quad \rho'_a = \frac{1}{12} \pi \rho_{liq} b^2 + \frac{3}{4} \pi b \sqrt{\frac{2\rho_{liq}\eta}{\omega}}$$

( $\eta$  — вязкость жидкости;  $\omega$  — частота колебаний консоли). Выражения для дополнительных демпфирующих коэффициентов представляются в виде суммы двух слагаемых:

$$c_a = c_\infty + c_s, \quad c'_a = c'_\infty + c'_s.$$

Здесь  $c_\infty$ ,  $c'_\infty$  — гидродинамические демпфирующие параметры в случае, когда консоль колеблется в свободной жидкости. В случае если консоль колеблется вблизи поверхности образца, жидкость втекает в область между консолью и поверхностью образца и вытекает из нее, в результате чего появляются дополнительные демпфирующие параметры  $c_s$ ,  $c'_s$ . Согласно [9]

$$c_\infty = 3\pi\eta + \frac{3}{4} \pi b_0 \sqrt{2\rho_{liq}\eta\omega}, \quad c'_\infty = 3\pi\eta + \frac{3}{4} \pi b \sqrt{2\rho_{liq}\eta\omega}, \quad c_s = \frac{\eta b_0^3}{h(x, t)^3}, \quad c'_s = \frac{\eta b^3}{h'(x, t)^3},$$

где  $h(x, t)$ ,  $h'(x, t)$  — расстояния между консолью и поверхностью образца:

$$h(x, t) = D + H \cos \alpha + x \sin \alpha + v(x, t) \cos \alpha,$$

$$h'(x, t) = D + H \cos \alpha + (L - x) \sin \alpha + w(x, t) \cos \alpha,$$

$H$  — длина зонда;  $D$  — статическое расстояние между зондом и поверхностью образца. Возможны два режима взаимодействия зонда с поверхностью образца: режим “притяжения” и режим “отталкивания”. В данной работе для определения нормальных и тангенциальных сил, действующих на границе зоны контакта зонд — образец, используется модель Герца [10]:

$$f_n = \left( k_n - k_{n1} \frac{w(0, t) \cos \alpha}{\delta_0} - k_{n2} \frac{(w(0, t) \cos \alpha)^2}{\delta_0^2} \right) (w(0, t) \cos \alpha - H \varphi(0, t) \sin \alpha),$$

$$k_n = \frac{3}{2} K_0 \delta^{1/2}, \quad k_{n1} = \frac{1}{4} k_n, \quad k_{n2} = \frac{1}{24} k_n, \quad K_0 = \frac{4}{3} E^* \sqrt{R_t},$$

$$\frac{1}{E^*} = \frac{1 - \nu_s^2}{E_s} + \frac{1 - \nu_t^2}{E_t}, \quad \delta_0 = Z_0 - D,$$

$$f_t = \left( k_t - k_{t1} \frac{w(0, t) \cos \alpha}{\delta_0} - k_{t2} \left( \frac{w(0, t) \cos \alpha}{\delta_0} \right)^2 \right) (w(0, t) \sin \alpha + H \varphi(0, t) \cos \alpha),$$

$$k_t = 8G_0 \delta_0^{1/2}, \quad k_{t1} = \frac{1}{2} k_t, \quad k_{t2} = \frac{1}{8} k_t, \quad G_0 = G^* \sqrt{R_t}, \quad \frac{1}{G^*} = \frac{2 - \nu_s}{G_s} + \frac{2 - \nu_t}{G_t}.$$

Здесь  $R_t$  — радиус зонда;  $E_t, E_s, \nu_t, \nu_s$  — модули Юнга и коэффициенты Пуассона материалов зонда и образца соответственно;  $\delta_0, Z_0$  — статическая контактная деформация (разность межмолекулярного расстояния и равновесного расстояния между зондом и образцом), начальная ширина зазора между зондом и поверхностью образца. Подставляя выражения (2) для  $f_{d_1}, f_{d_2}$  в (1), получаем

$$\begin{aligned} \frac{\partial}{\partial x} \left[ kGA_0 \left( \frac{\partial v(x,t)}{\partial x} - \psi(x,t) \right) \right] - \left( \rho + \frac{\rho_a}{A_0} \right) A_0 \frac{\partial^2 v(x,t)}{\partial t^2} - c_a \frac{\partial v(x,t)}{\partial t} &= 0, \\ \frac{\partial}{\partial x} \left[ kGA_1 \left( \frac{\partial w(x,t)}{\partial x} - \varphi(x,t) \right) \right] - \left( \rho + \frac{\rho'_a}{A_1} \right) A_1 \frac{\partial^2 w(x,t)}{\partial t^2} - c'_a \frac{\partial w(x,t)}{\partial t} &= 0. \end{aligned}$$

В предположении, что консоль не параллельна поверхности образца, краевые условия записываются в следующем виде:

$$\begin{aligned} v(-L_0, t) = 0, \quad \psi(-L_0, t) = 0, \quad v(0, t) = w(0, t), \quad \psi(0, t) = \varphi(0, t), \\ I_{y0} \frac{\partial \psi(0, t)}{\partial x} - I_{y0} \frac{\partial \varphi(0, t)}{\partial x} = 0, \quad kGA_0 \left( \frac{\partial v(0, t)}{\partial x} - \psi(0, t) \right) - kGA_0 \left( \frac{\partial w(0, t)}{\partial x} - \varphi(0, t) \right) = 0, \\ EI_{y0}(1 - C_b)(1 - C_h)^3 \frac{\partial \varphi(L_1, t)}{\partial x} = (-f_t \cos \alpha + f_n \sin \alpha)H - m_{tip} d^2 \frac{\partial^2 \varphi(L_1, t)}{\partial t^2} = \\ = - \left[ k_t - k_{t1} \frac{w(L_1, t) \cos \alpha}{\delta_0} - k_{t2} \left( \frac{w(L_1, t) \cos \alpha}{\delta_0} \right)^2 \right] \left( \frac{H}{2} w(L_1, t) \sin(2\alpha) + H^2 \varphi(L_1, t) \cos^2 \alpha \right) + \\ + \left( k_n - k_{n1} \frac{w(L_1, t)}{\delta_0} \cos \alpha - k_{n2} \frac{w(L_1, t)^2}{\delta_0^2} \cos^2 \alpha \right) \left( \frac{H}{2} w(L_1, t) \sin(2\alpha) - H^2 \varphi(L_1, t) \sin^2 \alpha \right) - \\ - m_{tip} d^2 \frac{\partial^2 \varphi(L_1, t)}{\partial t^2}, \\ kGA_0(1 - C_b)(1 - C_h) \left( \varphi(L_1, t) - \frac{\partial w(L_1, t)}{\partial x} \right) = (f_t \sin \alpha + f_n \cos \alpha) + m_{tip} \frac{\partial^2 w(L_1, t)}{\partial t^2} = \\ = \left[ k_t - k_{t1} \frac{w(L_1, t) \cos \alpha}{\delta_0} - k_{t2} \left( \frac{w(L_1, t) \cos \alpha}{\delta_0} \right)^2 \right] \left( w(L_1, t) \sin^2 \alpha + \frac{H}{2} \varphi(L_1, t) \sin(2\alpha) \right) + \\ + \left( k_n - k_{n1} \frac{w(L_1, t)}{\delta_0} \cos \alpha - k_{n2} \frac{w(L_1, t)^2}{\delta_0^2} \cos^2 \alpha \right) \left( w(L_1, t) \cos^2 \alpha - \frac{H}{2} \varphi(L_1, t) \sin(2\alpha) \right) + \\ + m_{tip} \frac{\partial^2 w(L_1, t)}{\partial t^2}. \end{aligned}$$

Гармоническое решение основных уравнений можно представить в виде

$$w(x, t) = w(x) e^{i\omega t}, \quad \varphi(x, t) = \varphi(x) e^{i\omega t},$$

где  $\omega$  — собственная частота. Переходя к безразмерным переменным, получаем

$$\begin{aligned} \lambda_0^4 \bar{v} + \frac{1}{s_0} \frac{d}{d\xi_0} \left( \frac{d\bar{v}}{d\xi_0} - \psi \right) - i\mu_0 \lambda_0^2 \bar{v} = 0, \quad -L_0 \leq x \leq 0, \\ \frac{d}{d\xi_0} \left( \frac{d\psi}{d\xi_0} \right) + r_0 \lambda_0^4 \frac{\rho}{\rho + \rho_a/A_0} \psi + \frac{1}{s_0} \left( \frac{d\bar{v}}{d\xi_0} - \psi \right) = 0, \\ \lambda_1^4 (1 - C_b \xi_1)(1 - C_h \xi_1) \bar{w} + \frac{1}{s_1} \frac{d}{d\xi_1} \left[ (1 - C_b \xi_1)(1 - C_h \xi_1) \left( \frac{d\bar{w}}{d\xi_1} - \varphi \right) \right] - i\mu_1 \lambda_1^2 \bar{w} = 0, \quad 0 \leq x \leq L_1, \end{aligned} \tag{3}$$

$$\frac{d}{d\xi_1} \left( (1 - C_b \xi_1)(1 - C_h \xi_1)^3 \frac{d\varphi}{d\xi_1} \right) + r_1 \lambda_1^4 \frac{\rho}{\rho + \rho'_a/A_1} (1 - C_b \xi_1)(1 - C_h \xi_1)^3 \varphi + \frac{(1 - C_b \xi_1)(1 - C_h \xi_1)}{s_1} \left( \frac{d\bar{w}}{d\xi_1} - \varphi \right) = 0.$$

Здесь

$$\lambda^4 = \frac{(\rho + \rho_a/A_0)A_0L^4}{EI_y} \omega^2, \quad r = \frac{I_y}{A_0L^2}, \quad s = \frac{EI_y}{kA_0GL^2}, \quad \xi_0 = \frac{x}{L_0}, \quad \bar{v} = \frac{v}{L_0},$$

$$\lambda_0^4 = \frac{(\rho + \rho_a/A_0)A_0L_0^4}{EI_{y0}} \omega^2 = \lambda^4 \left( \frac{L_0}{L} \right)^4, \quad \lambda_1^4 = \frac{(\rho + \rho'_a/A_1)A_0L_1^4}{EI_{y0}} \omega^2 = \lambda^4 \frac{\rho + \rho'_a/A_1}{\rho + \rho_a/A_0} \left( \frac{L_1}{L} \right)^4,$$

$$\mu = \frac{c_a L^2}{\sqrt{(\rho + \rho_a/A_0)A_0EI_y}}, \quad \xi_1 = \frac{x}{L_1}, \quad \bar{w} = \frac{w}{L_1}, \quad \mu_0 = \frac{c_a L_0^2}{\sqrt{(\rho + \rho_a/A_0)A_0EI_y}} = \mu \left( \frac{L_0}{L} \right)^2,$$

$$\mu_1 = \frac{c'_a L_1^2}{\sqrt{(\rho + \rho'_a/A_1)A_0EI_y}} = \mu \sqrt{\frac{\rho + \rho_a/A_0}{\rho + \rho'_a/A_1}} \frac{c'_a}{c_a} \left( \frac{L_1}{L} \right)^2, \quad s_0 = \frac{EI_{y0}}{kA_0GL_0^2} = s \left( \frac{L}{L_0} \right)^2,$$

$$r_1 = \frac{I_{y0}}{A_0L_1^2} = r \left( \frac{L}{L_1} \right)^2, \quad s_1 = \frac{EI_{y0}}{kA_0GL_1^2} = s \left( \frac{L}{L_1} \right)^2, \quad \bar{t} = t \sqrt{\frac{(\rho + \rho_a/A_0)A_0L^4}{EI_y}},$$

$\Lambda_n = k_n/k_c$  — отношение нормальной контактной жесткости к жесткости консоли.

**2. Метод дифференциальных квадратур.** Метод дифференциальных квадратур является эффективным методом решения нелинейных дифференциальных уравнений, широко используемым при численном решении задач. В этом методе производные функции в данной точке аппроксимируются взвешенной линейной суммой значений функции во всех дискретных точках области. Производная порядка  $n$  функции  $F(x)$ , определенной в области  $D$ , аппроксимируется следующим образом [11]:

$$\frac{d^n F(x_i)}{dx^n} = \sum_{j=1}^N k_{ij}^{(n)} F(x_j), \quad i = 1, 2, \dots, N, \quad n = 1, 2, \dots, N - 1.$$

Здесь  $N$  — число точек расчетной сетки; весовые коэффициенты определяются по формулам

$$k_{ij}^{(1)} = \frac{\Pi(x_i)}{(x_i - x_j)\Pi(x_j)}, \quad i, j = 1, 2, \dots, N, \quad j \neq i,$$

$$k_{ij}^{(r)} = r \left( k_{ii}^{(r-1)} k_{ij}^{(1)} - \frac{k_{ij}^{(r-1)}}{x_i - x_j} \right), \quad 2 \leq r \leq N - 1,$$

$$k_{ii}^{(m)} = - \sum_{j=1, j \neq i}^N k_{ij}^{(m)}, \quad m = 1, 2, \dots, N - 1,$$

$$\Pi(x_i) = \prod_{j=1, j \neq i}^N (x_i - x_j).$$

При построении расчетной сетки используется распределение точек по закону косинуса

$$x_i = \frac{1}{2} \left( 1 - \cos \left( \frac{i-1}{N-1} \pi \right) \right), \quad i = 1, 2, \dots, N, \quad x_1 = 0, \quad x_N = 1.$$

С помощью метода дифференциальных квадратур уравнения (3) приводятся к системе алгебраических уравнений

$$\begin{aligned} &\lambda_0^4 \bar{v} + \frac{1}{s_0} \left( \sum_{j=1}^N B_{ij}^{(2)} \bar{v}_j - \sum_{j=1}^N B_{ij}^{(1)} \psi_j \right) - i\mu_0 \lambda_0^2 \bar{v} = 0, \quad -L_0 \leq x \leq 0, \\ &\sum_{j=1}^N B_{ij}^{(2)} \psi_j + r_0 \lambda_0^4 \frac{\rho}{\rho + \rho_a/A_0} \psi_i + \frac{1}{s_0} \left( \sum_{j=1}^N B_{ij}^{(1)} \bar{v}_j - \psi_i \right) = 0, \\ &\lambda_1^4 (1 - C_b \xi_1) (1 - C_h \xi_1) \bar{w} + \frac{1}{s_1} \left[ (-C_b) (1 - C_h \xi_1) \left( \sum_{j=1}^N C_{ij}^{(1)} \bar{w}_j - \varphi_i \right) + \right. \\ &+ \left. (-C_h) (1 - C_b \xi_1) \left( \sum_{j=1}^N C_{ij}^{(1)} \bar{w}_j - \varphi_i \right) + (1 - C_b \xi_1) (1 - C_h \xi_1) \left( \sum_{j=1}^N C_{ij}^{(2)} \bar{w}_j - \sum_{j=1}^N C_{ij}^{(1)} \varphi_j \right) \right] - \\ &\quad - i\mu_1 \lambda_1^2 \bar{w} = 0, \quad 0 \leq x \leq L_1, \\ &\left[ (-C_b) (1 - C_h \xi_1)^3 \sum_{j=1}^N C_{ij}^{(1)} \varphi_j + \right. \\ &\quad \left. + 3(-C_h) (1 - C_b \xi_1) (1 - C_h \xi_1)^2 \sum_{j=1}^N C_{ij}^{(1)} \varphi_j + (1 - C_b \xi_1) (1 - C_h \xi_1)^3 \sum_{j=1}^N C_{ij}^{(2)} \varphi_j \right] + \\ &+ r_1 \lambda_1^4 \frac{\rho}{\rho + \rho'_a/A_1} (1 - C_b \xi_1) (1 - C_h \xi_1)^3 \varphi_i + \frac{(1 - C_b \xi_1) (1 - C_h \xi_1)}{s_1} \left( \sum_{j=1}^N C_{ij}^{(1)} \bar{w}_j - \varphi_i \right) = 0, \end{aligned}$$

где

$$\begin{aligned} B_{ij}^{(1)} &= \frac{\Pi(x_i)}{(x_i - x_j) \Pi(x_j)}, \quad i, j = 1, 2, \dots, N, \quad j \neq i, \\ B_{ij}^{(2)} &= 2 \left( B_{ii}^{(1)} B_{ij}^{(1)} - \frac{B_{ij}^{(1)}}{x_i - x_j} \right), \quad B_{ii}^{(1)} = - \sum_{j=1, j \neq i}^N B_{ij}^{(1)}, \quad \Pi(x_i) = \prod_{j=1, j \neq i}^N (x_i - x_j), \\ x_i &= -\frac{1}{2} \left( 1 - \cos \left( \frac{i-1}{N-1} \pi \right) \right), \quad i = 1, 2, \dots, N, \quad x_1 = 0, \quad x_N = -1, \\ C_{ij}^{(1)} &= \frac{\Pi(y_i)}{(y_i - y_j) \Pi(y_j)}, \quad i, j = 1, 2, \dots, N, \quad j \neq i, \\ C_{ij}^{(2)} &= 2 \left( C_{ii}^{(1)} C_{ij}^{(1)} - \frac{C_{ij}^{(1)}}{y_i - y_j} \right), \quad C_{ii}^{(1)} = - \sum_{j=1, j \neq i}^N C_{ij}^{(1)}, \quad \Pi(y_i) = \prod_{j=1, j \neq i}^N (y_i - y_j), \\ y_i &= \frac{1}{2} \left( 1 - \cos \left( \frac{i-1}{N-1} \pi \right) \right), \quad i = 1, 2, \dots, N, \quad y_1 = 0, \quad y_N = 1. \end{aligned}$$

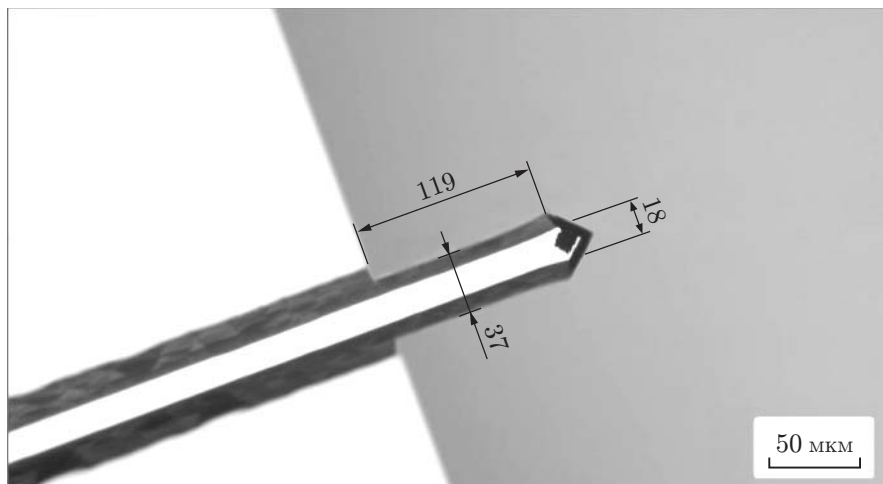


Рис. 2. Силиконовая консоль атомно-силового микроскопа, имеющая кинжальную форму (MikroMasch HQNSC15)

Таблица 1

Первая  $\omega_1$  и вторая  $\omega_2$  резонансные частоты для различных жидкостей при наличии и в отсутствие сил взаимодействия зонда и образца в случае консоли АСМ, имеющей кинжальную форму

Жидкость	$\rho_{liq}$ , кг/м <sup>3</sup>	$\eta \cdot 10^4$ , Па·с	При наличии сил взаимодействия		В отсутствие сил взаимодействия	
			$\omega_1$ , Гц	$\omega_2$ , Гц	$\omega_1$ , Гц	$\omega_2$ , Гц
CCl <sub>4</sub>	1585	9,01	222 073,577	1 091 171,362	143 765,663	989 497,378
Метанол	786	5,44	280 276,432	1 019 171,362	182,765,198	1 225 397,074
Ацетон	785	3,04	288 409,445	1 280 368,752	189 136,078	1 243 931,317

**3. Результаты численного решения.** С использованием соотношений теории балок Тимошенко исследовано динамическое поведение силиконовой консоли АСМ, имеющей кинжальную форму, при различных значениях его параметров: длины зонда, толщины балки и угла между консолью и поверхностью образца. Во всех случаях массой зонда пренебрегается, полагается, что коэффициент Пуассона  $\nu = 0,28$ . В качестве силиконовой консоли АСМ, имеющей кинжальную форму, использовалась консоль MikroMasch HQNSC15 (рис. 2). В большинстве работ при моделировании полагалось, что консоль имеет форму параллелепипеда. Однако, поскольку часть консоли имеет трапециевидную форму, целесообразно рассматривать консоль кинжальной формы. Размерные параметры определялись с использованием оптического микроскопа Huvitz HR3-TRF-P. Вычисления проводились при следующих значениях параметров консоли: длина  $L_0 = 119$  мкм,  $L_1 = 11$  мкм, толщина  $h = 3,59$  мкм, ширина  $b_0 = 37$  мкм, плотность  $\rho = 2230$  кг/м<sup>3</sup>, модуль Юнга  $E = 1,5 \cdot 10^{11}$  Па, коэффициент Пуассона  $\nu = 0,28$ , радиус зонда  $R_t = 10$  нм,  $\alpha = 15^\circ$ ,  $H = 15$  мкм. Параметры, определяющие взаимодействие консоли и образца из высокоупорядоченного пиролиитического графита, имели следующие значения:  $E^* = 10,2$  ГПа,  $G^* = 4,2$  ГПа,  $Z_0 = 0,38$  нм,  $D = 0,08$  нм.

Исследовано влияние различных жидкостей на нелинейные резонансные частоты и разупрочнение материала консоли. Значения плотности и вязкости жидкостей при температуре, равной 25 °С, приведены в табл. 1. Из результатов, приведенных на рис. 3,

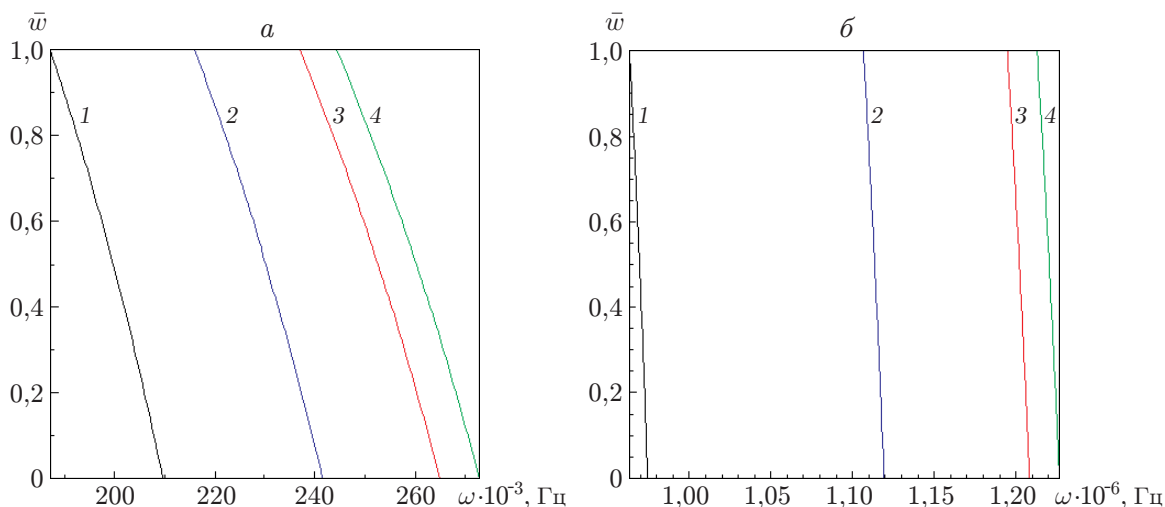


Рис. 3. Зависимость амплитуды от частоты для первой моды для различных жидкостей:  
 а —  $175 \cdot 10^3 \text{ Гц} \leq \omega_1 \leq 275 \cdot 10^3 \text{ Гц}$ , б —  $0,6 \cdot 10^6 \text{ Гц} \leq \omega_1 \leq 1,4 \cdot 10^6 \text{ Гц}$ ; 1 —  $\text{CCl}_4$ , 2 — вода, 3 — метанол, 4 — ацетон

следует, что резонансная частота зависит от вязкости жидкости. С увеличением вязкости жидкости резонансная частота уменьшается. В случае углеродистого тетрахлорида ( $\text{CCl}_4$ ), имеющего наибольшую вязкость, резонансная частота наименьшая, в случае ацетона, имеющего наименьшую плотность, резонансная частота наибольшая. Разупрочнение не зависит от вязкости жидкости. Значения резонансных частот при наличии сил взаимодействия зонда и образца и при их отсутствии приведены в табл. 1. Из табл. 1 следует, что с увеличением вязкости резонансные частоты уменьшаются. Кроме того, наличие сил взаимодействия зонда и образца оказывает существенное влияние на резонансную частоту, а именно приводит к ее увеличению. В данной работе рассматриваются линейные силы взаимодействия зонда и образца.

В табл. 2 приведены экспериментальные и расчетные данные для консоли кинжальной формы и консоли, имеющей форму параллелепипеда, в случаях, когда в качестве окружающей среды используются воздух и вода. Из приведенных данных следует, что результаты, полученные при использовании в качестве модели консоли кинжальной формы, являются более точными. При использовании в качестве окружающей среды воздуха эксперименты проводились с помощью многомодового атомно-силового микроскопа Ara-Research, при использовании воды — с помощью атомно-силового микроскопа JPK Instruments-NanoWizard 2 (рис. 4). Полученные в экспериментах данные хорошо согласуются с результатами расчетов.

На рис. 5 приведены зависимости первой и второй частот от времени для консоли АСМ, имеющей кинжальную форму, в случаях, когда в качестве окружающей среды используется воздух или вода. Согласно полученным данным в случае использования воздуха резонансные частоты больше, чем в случае использования воды, что обусловлено большей вязкостью воды. Резонансные нелинейные частоты не зависят от времени.

**Закключение.** Изучено нелинейное динамическое поведение консоли АСМ, имеющей кинжальную форму. Для решения нелинейных уравнений движения использован метод дифференциальных квадратур. Установлено, что разупрочнение материала происходит



Таблица 2

Расчетные и экспериментальные значения первой и второй линейных собственных частот консоли кинжальной формы и консоли, имеющей форму параллелепипеда, при наличии и в отсутствие сил взаимодействия зонда и образца

Окружающая среда	При наличии сил взаимодействия		В отсутствие сил взаимодействия				$\Delta_1, \%$	$\Delta_2, \%$
	$\omega_1, \text{Гц}$	$\omega_2, \text{Гц}$	Расчет		Эксперимент			
			$\omega_1, \text{Гц}$	$\omega_2, \text{Гц}$	$\omega_1, \text{Гц}$	$\omega_2, \text{Гц}$		
Консоль кинжальной формы								
Воздух	430 194,784	1 824 448,254	286 891,805	1 788 444,973	287 530,124	1 815 785,440	0,22	1,50
Вода	255 850,676	1 169 396,125	165 841,652	1 135 581,260	179 411,924	1 272 204,695	7,56	10,73
Консоль, имеющая форму параллелепипеда								
Воздух	413 591,510	1 757 764,917	275 170,405	1 718 160,719	287 530,124	1 815 785,440	4,29	5,37
Вода	242 570,469	1 109 975,765	156 509,698	1 084 068,302	179 411,924	1 272 204,695	12,76	14,79

Примечание.  $\Delta_1, \Delta_2$  — погрешность расчета первой и второй частот соответственно.

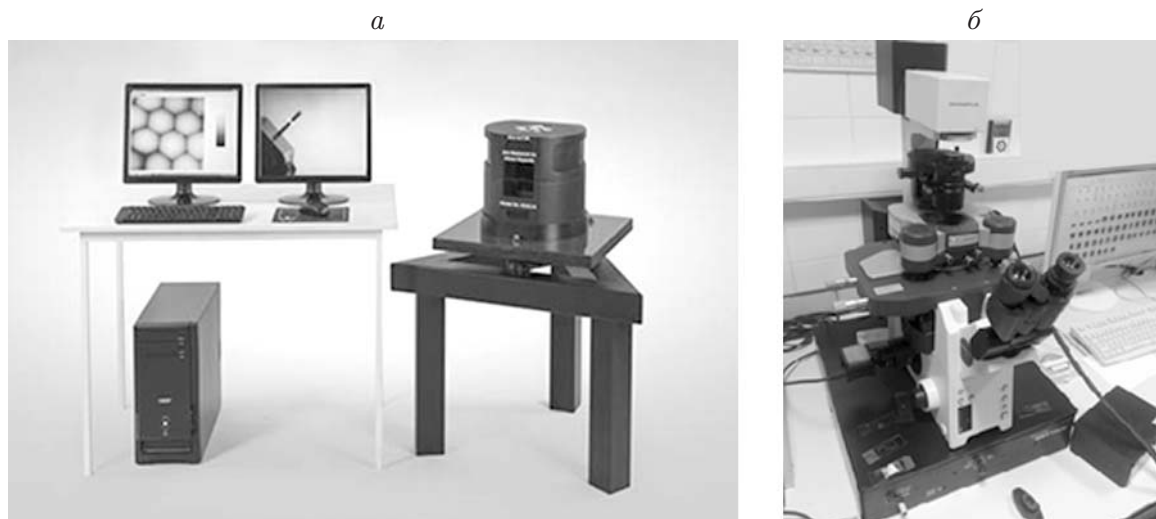


Рис. 4. Многомодовый атомно-силовой микроскоп Ara-Research (а) и атомно-силовой микроскоп JPK Instruments-NanoWizard 2 (б)

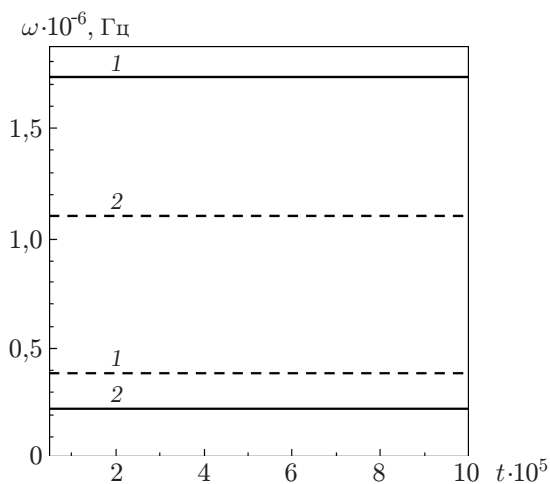


Рис. 5. Зависимости первой (сплошные линии) и второй (штриховые линии) частот от времени для консоли кинжальной формы в случаях, когда в качестве окружающей среды используются воздух (1) и вода (2)

при погружении консоли как в воздух, так и в воду. При увеличении вязкости жидкости резонансные частоты существенно уменьшаются. Разупрочнение не зависит от вязкости жидкости. Результаты, полученные с использованием предложенной теоретической модели, хорошо согласуются с экспериментальными данными.

## ЛИТЕРАТУРА

1. **Binning G., Quate C. F., Gerber C.** Atomic force microscope // J. Phys. Rev. Lett. 1986. V. 56, N 9. P. 930–933.
2. **Turner J. A., Wiehn J. S.** Sensitivity of flexural and torsional vibration modes of atomic force microscope cantilevers to surface stiffness variations // J. Nanotechnol. 2001. V. 12, N 3. P. 322–330.
3. **Chang W.** Sensitivity of vibration modes of atomic force microscope cantilevers in continuous surface contact // J. Nanotechnol. 2002. V. 13, N 4. P. 510–514.
4. **Sadeghi A.** Flexural vibration of double tapered atomic force microscope cantilevers studied by considering the contact position and using the differential quadrature method // J. Appl. Mech. Tech. Phys. 2013. V. 54, N 4. P. 622–635.
5. **Sedighi H. M., Shirazi K. H.** Accurate investigation of lateral vibrations of a quintic nonlinear beam on an elastic foundation: Using an exact formulation of the beam curvature // J. Appl. Mech. Tech. Phys. 2014. V. 55, N 6. P. 1066–1074.
6. **Wang Yi-Ren, Fang Zhi-Wei.** Vibrations in an elastic beam with nonlinear supports at both ends // J. Appl. Mech. Tech. Phys. 2015. V. 56, N 2. P. 337–346.
7. **Timoshenko S. P.** Theory of elasticity / S. P. Timoshenko, J. N. Goodier. N. Y.: McGraw-Hill, 1951.
8. **Chen G. Y., Warmack R. J., Huang A., Thundat T.** Harmonic response of near-contact scanning force microscopy // J. Appl. Phys. 1995. V. 78, N 3. P. 1465–1469.
9. **Hosaka H., Ito K., Kuroda S.** Damping characteristics of beam-shaped micro-oscillators // Sensors Actuators. 1995. V. 49, N 1/2. P. 87–95.
10. **Turner J. A.** Non-linear vibrations of a beam with cantilever-Hertzian contact boundary conditions // J. Sound Vibrat. 2004. V. 275, N 1/2. P. 177–191.
11. **Shu C.** Differential quadrature and its application in engineering. Singapore: Springer, 1999.

*Поступила в редакцию 2/XII 2019 г.,  
после доработки — 28/II 2020 г.  
Принята к публикации 30/III 2020 г.*